

4. Нейланд В. Я. К теории взаимодействия гиперзвукового потока с пограничным слоем для отрывных двумерных и пространственных течений. Ч. 2. Двумерные течения и треугольное крыло.— Учен. зап. ЦАГИ, 1974, т. 5, № 3.
5. Дудин Г. Н. Характеристики пространственного гиперзвукового пограничного слоя в окрестности плоскости симметрии треугольного крыла.— Тр. ЦАГИ, 1983, вып. 2177.
6. Дудин Г. Н. К расчету пограничного слоя на треугольной пластине на режиме сильного вязкого взаимодействия.— Учен. зап. ЦАГИ, 1978, т. 9, № 5.
7. Дудин Г. Н., Лыжин Д. О. Об одном методе расчета режима сильного вязкого взаимодействия на треугольном крыле.— Изв. АН СССР. МЖГ, 1983, № 4.
8. Нейланд В. Я. К теории взаимодействия гиперзвукового потока с пограничным слоем для отрывных двумерных и пространственных течений. Ч. 1. Пространственные течения.— Учен. зап. ЦАГИ, 1974, т. 5, № 2.
9. Хейз У. Д., Пробстин Р. Ф. Теория гиперзвуковых течений. М.: ИЛ, 1962.
10. Stewartson K. On the flow near the trailing edge of a flat plate. II.— *Mathematika*, 1969, v. 16.
11. Боголепов В. В., Нейланд В. Я. Исследование локальных возмущений вязких сверхзвуковых течений.— В кн.: Аэромеханика. М.: Наука, 1976.

Поступила 9/IV 1984 г.

УДК 534.2:532

НЕЛИНЕЙНЫЕ ОКОЛОРЕЗОНАНСНЫЕ КОЛЕБАНИЯ ГАЗА В ТРУБЕ ПЕРЕМЕННОГО СЕЧЕНИЯ

А. Л. Ни

(Черноголовка)

Рассматривается задача о нелинейных околорезонансных колебаниях газа в трубе переменного сечения, один конец которой закрыт, а на другом находится поршень, скорость которого $u_p = \delta a_0 f(t)$ — периодическая функция времени (a_0 — скорость звука в невозмущенном газе, $\delta \ll 1$). Пространственный характер исходной задачи учитывается в рамках квазидвумерного приближения. Рассмотрение ведется в диапазоне частот, близких к резонансным частотам цилиндрической трубы той же длины. Влиянием вязкости пренебрегается.

Раньше задача в такой постановке исследовалась [1]. В основе ее анализа лежал метод [2, 3], опирающийся на представление решения в виде ряда по степеням малого параметра $\varepsilon = \varepsilon(\delta)$. Было приведено решение задачи в частном случае формы трубы, когда уравнение, описывающее колебания газа, сводилось к обыкновенному дифференциальному уравнению [2, 3]. Для более общей ситуации выведено интегродифференциальное уравнение и обсуждены его некоторые качественные свойства. Насколько известно автору, к настоящему времени не получено каких-либо количественных результатов дополнительно к [1].

В данной работе эта задача решается методом [4], суть которого коротко можно сформулировать как представление решения линейной суперпозицией нелинейных волн различных семейств. В [4] предложен эффективный способ решения получающихся нелинейных функциональных уравнений, в пределе $\varepsilon \rightarrow 0$ совпадающих с [2, 3]. В [5] метод обобщен на более широкий класс задач при $\varepsilon \rightarrow 0$, сводящихся к решению интегродифференциальных уравнений.

По-видимому, многие известные задачи о колебаниях газа могут быть решены способом [4] или некоторым его обобщением. К таким задачам можно отнести субгармонический резонанс [6, 7], колебания в трубе с учетом пограничного слоя в приближении [3]. В данной работе иллюстрируются возможности метода на примере задачи об околорезонансных колебаниях газа в трубе переменного сечения.

По аналогии с одномерными течениями будем называть инвариантами Римана величины $J^\pm = u \pm 2a/(\kappa - 1)$. Введем безразмерные зависимые и независимые штрихованные переменные формулами [4]

$$(1) \quad \begin{aligned} u &= \varepsilon a_0 u', \quad J^\pm = a_0 [\varepsilon J'^\pm \pm 2/(\kappa - 1)], \\ a &= a_0(1 + \varepsilon a'), \quad t = Tt', \quad x = a_0 T x'. \end{aligned}$$

Здесь u — скорость; a — скорость звука; t — время; x — декартова координата; T — характерное время течения; a_0 — невозмущенная скорость звука; κ — показатель адиабаты; ε — малый параметр, характеризующий амплитуду возмущений. В соответствии с выводами [4] течение можно считать изэнтропическим. Уравнения, управляющие волновыми движе-

ниями газа, запишем в виде

$$(\partial J^+/\partial t)_\xi + \frac{ua}{S} dS/dx = 0, \quad (\partial J^-/\partial t)_\eta - \frac{ua}{S} dS/dx = 0,$$

где для операторов дифференцирования вдоль характеристик C^\pm использованы обозначения:

$$(\partial/\partial t)_\xi = \partial/\partial t + (u + a)\partial/\partial x; \quad (\partial/\partial t)_\eta = \partial/\partial t + (u - a)\partial/\partial x;$$

$S = S(x)$ — площадь сечения трубы. Как и в [1], положим $S = S_0(1 + \varepsilon S')$. Краевые условия для исследуемой задачи имеют вид

$$u(0, t) = a_0 \delta f(t), \quad f(t) = f(t + T), \quad u(X, t) = 0,$$

где X — длина трубы; T — период колебаний поршня.

Поскольку исследуются колебания, близкие к резонансным, верна связь [1] $2X = a_0 T(k + \Delta)$, где k — целое число, $\Delta \sim \varepsilon$.

Согласно [1, 4], для решения поставленной задачи точность определения параметров течения на границах должна быть величиной порядка ε^2 . Отсюда следует, что для этого положение характеристик достаточно вычислять с точностью ε и в уравнениях для инвариантов можно пренебречь членами порядка ε^3 .

Подставим формулы (1) в уравнения движения. С учетом сказанного выше, получим следующие упрощенные уравнения:

$$(\partial J^+/\partial t)_\xi + \varepsilon(J^+ + J^-)dS/dx/2 = 0,$$

$$(2) \quad (\partial J^-/\partial t)_\eta - \varepsilon(J^+ + J^-)dS/dx/2 = 0;$$

$$(3) \quad C^+: dx/dt = 1 + (\kappa + 1)\varepsilon J^+/4 + (3 - \kappa)\varepsilon J^-/4,$$

$$C^-: dx/dt = -1 + (\kappa + 1)\varepsilon J^-/4 + (3 - \kappa)\varepsilon J^+/4;$$

$$(4) \quad J^+(0, t) + J^-(0, t) = 2\delta f(t)/\varepsilon, \quad J^+(n, t) + J^-(n, t) = 0.$$

Здесь и ниже штрихи над безразмерными переменными опущены; $n = (k + \Delta)/2 = O(1)$ — безразмерная длина трубы. В качестве характерного времени в (1) принят период колебаний поршня, откуда $f(t + 1) = f(t)$.

Будем далее придерживаться способа исследования [4]. Проинтегрируем (2), (3) вдоль соответствующих характеристик. Из (2) и (3) видно, что при интегрировании вдоль $C^+(C^-)$ инварианты $J^+(J^-)$ в правых частях уравнений можно принять постоянными, равными своим значениям в исходных точках течения. Оставшиеся же интегралы следует вычислять вдоль характеристик линеаризованных уравнений:

$$t = x + \xi, \quad t = -x + \eta + n.$$

Под ξ и η — характеристическими переменными — будем всегда подразумевать моменты выхода $C^+(C^-)$ -характеристик с левой (правой) границы.

Интегрирование (3) дает

$$C^+: x = \left[1 + \frac{\kappa + 1}{4} \varepsilon J^+(\xi) \right] (t - \xi) + \frac{3 - \kappa}{8} \varepsilon \int_{\xi - n}^{2t - \xi - n} J^-(\eta) d\eta,$$

$$C^-: x = n - \left[1 - \frac{\kappa + 1}{4} \varepsilon J^-(\eta) \right] (t - \eta) + \frac{3 - \kappa}{8} \varepsilon \int_{\eta - n}^{2t - \eta - n} J^+(\xi) d\xi.$$

Отсюда и из (4) определяем момент t_2 возвращения на поршень характеристики C^+ , исходящей с него в момент времени ξ_0 (фиг. 1):

$$(5) \quad t_2 = \xi_0 + 2n \left[1 - \frac{\kappa+1}{4} \varepsilon J^+(\xi_0) \right] - \\ - \frac{3-\kappa}{8} \varepsilon \int_{\xi_0-n}^{t_1} J^-(\eta) d\eta + \frac{3-\kappa}{8} \varepsilon \int_{\xi_0}^{t_2} J^+(\xi) d\xi.$$

Поскольку рассматриваются периодические решения, верны равенства

$$(6) \quad \int_{\xi_0-n}^{t_1} J^-(\eta) d\eta = - \int_{\xi_0}^{t_2} J^+(\xi) d\xi = - \int_0^n J^+(\xi) d\xi = I_0 = \text{const},$$

(5) совпадает с соответствующей формулой одномерной газовой динамики [4].

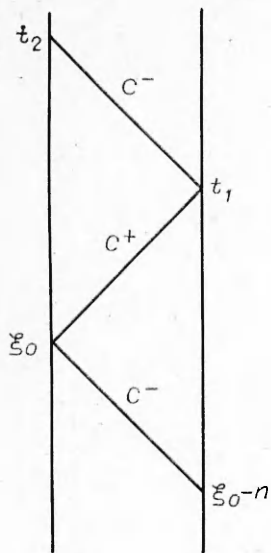
Согласно сказанному ранее, все равенства, относящиеся к интегрированию (3), верны с точностью $O(\varepsilon)$. Аналогично ниже при интегрировании (2) равенства выполнены с точностью $O(\varepsilon^2)$. Обозначая $dS/dx = \Phi(x)$, имеем

$$(7) \quad J^-(t_1, n) = J^-(t_1) = -J^+(t_1, n) = \\ = -J^+(\xi_0) + \frac{\varepsilon}{2} J^+(\xi_0) \int_0^n \Phi(x) dx + \frac{\varepsilon}{4} \int_{\xi_0-n}^{t_1} \Phi\left(\frac{\eta - \xi_0 + n}{2}\right) J^-(\eta) d\eta, \\ J^+(t_2, 0) = J^+(t_2) = -J^-(t_2, 0) + \frac{2\delta}{\varepsilon} f(t_2) = -J^-(t_1) - \\ - \varepsilon \frac{J^-(t_1)}{2} \int_0^n \Phi(x) dx - \frac{\varepsilon}{4} \int_{\xi_0}^{t_2} \Phi\left(\frac{t_1 + n - \xi}{2}\right) J^+(\xi) d\xi + \frac{2\delta}{\varepsilon} f(t_2), \\ J^+(t_2) = -\frac{\varepsilon}{2} J^+(\xi_0) \int_0^n \Phi(x) dx - \frac{\varepsilon}{4} \int_{\xi_0-n}^{t_1} \Phi\left(\frac{\eta - \xi_0 + n}{2}\right) J^-(\eta) d\eta - \\ - \frac{\varepsilon}{2} J^-(t_1) \int_0^n \Phi(x) dx - \frac{\varepsilon}{4} \int_{\xi_0}^{t_2} \Phi\left(\frac{t_1 + n - \xi}{2}\right) J^+(\xi) d\xi + \frac{2\delta}{\varepsilon} f(t_2) + J^+(\xi_0), \\ J^+(t_2) = J^+(\xi_0) - \frac{\varepsilon}{4} \int_{t_2-2n}^{t_2} J^+(\xi) \left[\Phi\left(\frac{t_2 - \xi}{2}\right) - \Phi\left(\frac{\xi - t_2 + 2n}{2}\right) \right] d\xi.$$

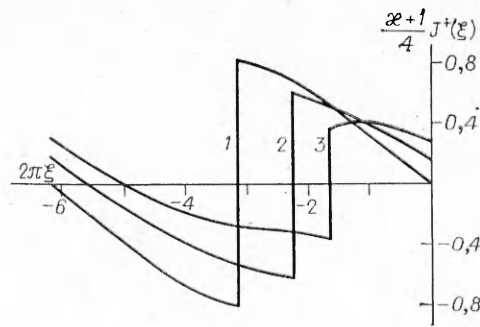
Соотношения (5), (7) образуют замкнутую систему уравнений, которой должно удовлетворять решение поставленной задачи. Константа I_0 в (6), как это будет видно далее, определяется начальными условиями задачи.

До сих пор не обсуждался вопрос об ударных волнах, которые могут возникать в поле течения. Легко показать, что их положение с нужной точностью определяется правилом площадей [4] в области многозначности решения. Эти площади можно вычислять по профилям, трансформирующимся в соответствии с законами одномерной газовой динамики [4], т. е. при определении положения ударных волн, как и при определении характеристик (5), эффекты, связанные с изменением сечения трубы, несущественны.

Действительно, параметры потока в нашем случае и в случае одномерных течений, как это видно из (5) и (6), в любой точке течения отли-



Ф и г. 1



Ф и г. 2

чаются на величины порядка ϵ^2 . То же утверждение относится и к скорости ударных волн.

Подставляя (5) в (7), разлагая полученное равенство в ряд Тейлора и учитывая периодичность искомого решения, приходим к интегродифференциальному уравнению [1] (не будем проводить эти простые выкладки, аналогичные [4, 5], заметим лишь, что отсюда имеем связь $\delta = \epsilon^2$). Решение

последнего представляет сложную задачу, в то время как систему (5), (7) можно решить по схеме [4].

Зададим на отрезке $[0, 1]$ функцию $J_0(\xi)$, удовлетворяющую условию $J_0(0) = J_0(1)$. Преобразованием (5) переведем $[0, 1]$ в отрезок $[t(0), t(1)]$, также имеющий единичную длину. Новые значения $J_1(\xi)$ в соответствующих точках вычислим по формуле (7) без учета интегрального члена, т. е. по формуле одномерной газодинамики [4]. Если в распределении $J_1(\xi)$ возникнут области многозначности, введем здесь по правилу площадей сильные разрывы. Считая $J_1(\xi)$ периодической функцией, вычислим по ней интегральный член (7) и прибавим его к $J_1(\xi)$. Легко видеть, что это новое распределение $J_2(\xi)$ с точностью ϵ связано с $J_0(\xi)$ формулой (7). Из условия периодичности определим $J_2(\xi)$ на $[0, 1]$ и будем повторять указанную процедуру до достижения установления. Заметим, что $\int_0^1 J_2(\xi) d\xi =$

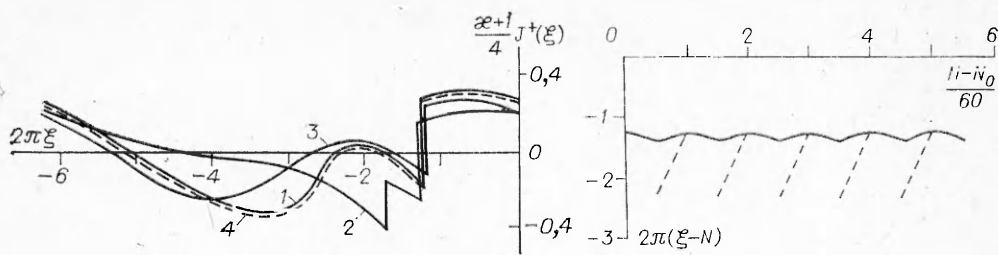
$= \int_0^1 J_0(\xi) d\xi = -I_0$, эта величина сохраняется в ходе итераций. Поэтому в

формуле (6) $I_0 = -k \int_0^1 J_0(\xi) d\xi$.

По описанному алгоритму были проведены расчеты для различных профилей труб $\Phi(x)$, законов движения поршня $f(t)$ и значений малых параметров Δ и δ .

На фиг. 2 приведены результаты расчетов, в которых полагалось $f(t) = [2/(\kappa + 1)] \sin 2\pi t$, $n = 1/2$, $\epsilon = 2 \cdot 10^{-2}$, $\Phi = (2\pi)^2 \alpha \xi$, $I_0 = 0$, $\kappa = 1,4$. Кривые 1—3 отвечают значениям $\alpha = 0, 1, 2$. Вертикальными отрезками на фигуре обозначены ударные волны. Кривая 1 соответствует резонансным колебаниям в цилиндрической трубе. Видно, что по мере увеличения раствора трубы амплитуда периодических колебаний падает. Возможно, существуют каналы такой формы, что амплитуда периодических резонансных колебаний в них превышает амплитуду колебаний в цилиндрической трубе. В расчетах с различными функциями $\Phi(\xi)$ такой ситуации зарегистрировано не было.

Все примеры, содержащиеся в [1—3, 6, 7], относятся к периодическим колебаниям. Задачи того же класса решались до сих пор методом [4, 5]. В действительности область применимости последнего гораздо шире. По существу, как было отмечено в [4, 5], он является методом характеристик,



Фиг. 3

Фиг. 4

который при некоторых дополнительных предположениях относительно искомых решений позволяет вычислять положение характеристик, величины «инвариантов», переносимых характеристиками, и положение ударных волн, образующихся от пересечения характеристик одного семейства сразу на конечных расстояниях.

В качестве примера, иллюстрирующего возможности метода, приведем решение задачи о колебаниях в трубе с достаточно большим раствором. Положим в предыдущем выражении для Φ $\alpha = 3$. Проведенные расчеты показывают, что течение в этом случае на больших временах становится квазипериодическим. На решение с периодом единица накладывается «длинная» модуляция с периодом, равным приблизительно 60. На фиг. 3 нанесены осциллограммы $J^\alpha(\xi) = [(\alpha + 1)/4]J^+(\xi)$ на левой границе в моменты времени T_0 , $T_0 + 20$, $T_0 + 40$, $T_0 + 60$, отмеченные соответственно цифрами 1—4 (графики приведены к отрезку $[-1, 0]$ по периодичности, T_0 достаточно велико, чтобы начальные условия «забылись»). Видно, что в течении, содержащем одну ударную волну (кривая 1), зарождается вторая (кривая 2), далее две волны сливаются (кривая 3) и картина течения (кривая 4) возвращается к исходному состоянию (кривая 1), кривые 1 и 4 неразличимы в масштабе фиг. 3, поэтому кривая 4 нанесена штрихами. Единственное изменение, которое следует внести для данного случая в изложенный выше алгоритм состоит в том, что решение не продолжается в ходе итераций на отрезок $[0, 1]$. Что же касается интеграла, входящего в (7), то его можно вычислять, как и ранее, в силу квазипериодичности решения. Обозначим ξ_{s1} (ξ_{s2}) моменты прихода на поршень первой (второй волны), а через N — целое число такое, что $N - 1 < \xi_{s1} \leq N$. Квазипериодичность процесса легко усматривается из фиг. 4, где сплошной линией отложена ломаная, соединяющая точки $[2\pi(\xi_{s1} - N), (N - N_0)/60]$, а штриховой — ломаная, вершинами которой являются точки $[2\pi(\xi_{s2} - N), (N - N_0)/60]$, N_0 — достаточно большое число, чтобы указанный режим успел установиться, и зависит от начальных условий. На конечное решение, как показывают расчеты, начальные условия влияния не оказывают.

Полученная картина течения объясняется интерференцией волн с периодом, кратным периоду вынуждающей «силы», с собственными решениями для канала переменного сечения. С ростом α роль последних усиливается. Дальнейшее увеличение α делает картину течения еще более сложной.

Детальный анализ причин возникновения «длинной» модуляции представляет самостоятельный интерес и не приводится в данной работе.

Автор выражает благодарность В. Е. Фортову и С. И. Анисимову за интерес к работе и поддержку.

ЛИТЕРАТУРА

1. Keller J. J. Nonlinear acoustic resonances in shock tubes with varying cross-sectional area. — ZAMP, 1977, Bd 28, F. 1, S. 107.
2. Горьков Л. П. Нелинейные акустические колебания столба газа в закрытой трубе. — Пиж. журн., 1963, т. 3, вып. 2.

3. Chester W. Resonant oscillations in closed tubes. — J. Fluid Mech., 1964, v. 18, pt 11.
4. Крайко А. П., Ни А. Л. О приближении нелинейной акустики в задачах о колебаниях газа в трубах. — ПММ, 1980, т. 44, № 1.
5. Ни А. Л. Нелинейные резонансные колебания газа в трубе под воздействием периодически изменяющегося давления. — ПММ, 1983, т. 47, № 4.
6. Галиев Ш. У., Ильгамов П. А., Садыков А. В. О переподписанных ударных волнах в газе. — Изв. АН СССР. МЖГ, 1970, № 2.
7. Mortell M. P., Seymour B. R. A finite-rate theory of quadratic resonance in closed tube. — J. Fluid Mech., 1981, v. 112, p. 411.

Поступила 21/III 1984 г.

УДК 532.593:532.529

ВЗАИМОДЕЙСТВИЕ ВОЗДУШНЫХ УДАРНЫХ ВОЛН С ПОРИСТЫМИ СЖИМАЕМЫМИ МАТЕРИАЛАМИ

Л. Г. Гвоздева, Ю. М. Фаресов, В. П. Фокеев
(Москва)

Экспериментальные исследования, посвященные изучению процесса взаимодействия воздушных ударных волн с пористыми сжимаемыми материалами типа пенополиуретана и пенопласта, показали, что подобное взаимодействие обладает рядом специфических особенностей. Так, в [1] было обнаружено, что максимальная амплитуда давления на стенке под слоем пенополиуретана может существенно превышать величину давления нормального отражения ударной волны от жесткой стенки. В [1] высказано предположение, что этот эффект объясняется вовлечением твердой фазы пористого материала в движение за проникающей волной. В [2] анализируется случай усиления косоугольной ударной волны при падении на слой пористого сжимаемого материала. Изучение взаимодействия воздушной ударной волны с пористым экраном из пенополиуретана проводилось в [3], причем было зарегистрировано значительное снижение пикового давления на стенке при наличии воздушного зазора между стенкой и экраном. Для теоретического описания процесса в [3] предложено применить расчетный метод [4], развитый первоначально для описания газодинамических течений с твердыми частицами. Ниже приведены результаты экспериментальных исследований взаимодействия стационарной ударной волны со стенкой, облицованной слоями пористых сжимаемых материалов различной толщины.

Для экспериментов были выбраны эластичный пенополиуретан марки ППУ-3М-1 и пенопласт марки ПХВ-1; плотности этих материалов относительно близки (33 и 50 кг/м³ соответственно), а жесткость пенопласта существенно больше. Величина разрушающего напряжения для пенопласта выбранной марки составляет $(4-7) \cdot 10^5$ Н/м² [5].

Отметим, что давление нормального отражения ударной волны от жесткой стенки в наших экспериментах варьировалось в диапазоне $(1-15) \cdot 10^5$ Па, что существенно превышает характерное значение напряжения сжатия пенополиуретана $\sim 10^4$ Н/м² при 40% деформации [5] и сравнимо с соответствующей величиной для пенопласта. Это позволяет выявить роль механизма акустической передачи давления через жесткую структуру покрытия. Коэффициенты пористости исследуемых материалов близки и составляют 0,95—0,98.

Схема эксперимента и диагностического обеспечения представлена на фиг. 1. Исследования проводились на однодиафрагменной ударной трубе с каналом квадратного сечения $0,1 \times 0,1$ м. Длина камеры низкого давления (КНД) и исследовательской секции (ИС) с оптическими окнами составляла 8 м, камеры высокого давления (КВД) — 1,5 м. На торцевую заглушку исследовательской секции с вмонтированным в нее пьезодатчиком давления помещали плоские слои *1* исследуемых материалов различной толщины, полностью перекрывая сечение канала ударной трубы. В опытах использовались измерительные пьезодатчики давления *2*, конструкция которых описана в [6]. Измерение скорости падающей ударной волны производилось с помощью пьезодатчиков давления, расположенных в боковых стенках канала, и специальных схем формирователей импульсов *3*, служащих для запуска цифрового частотомера ЧЗ-33 *4*, и измерительного осциллографа «Тектроникс» 453А *5*. Для согласования высокого